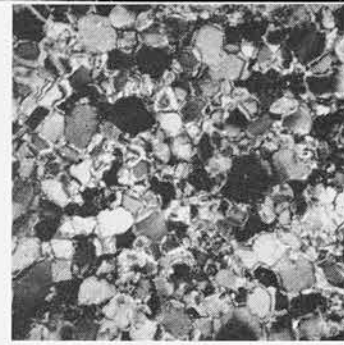
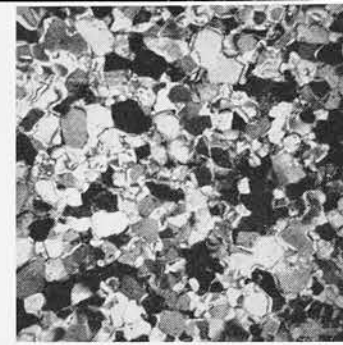


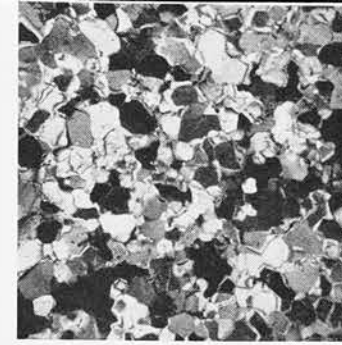
29a



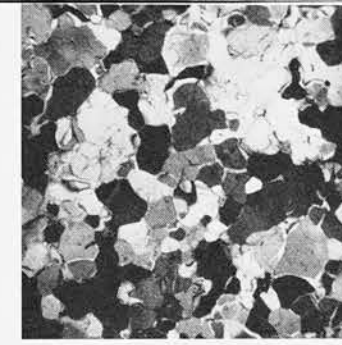
29b



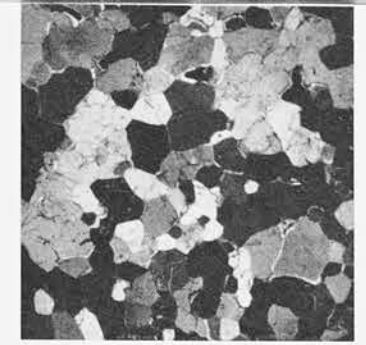
29c 32 min.



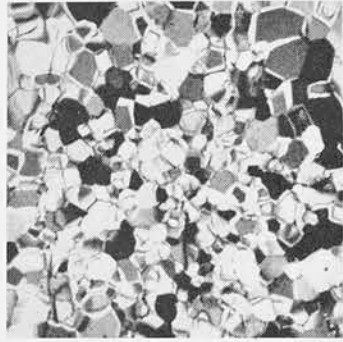
29d 47 min.



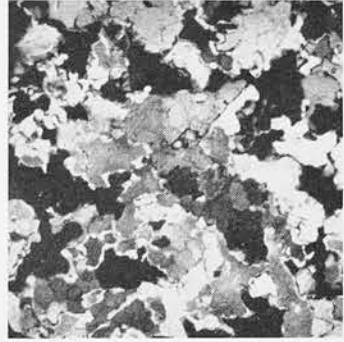
29e 2h 30 min.



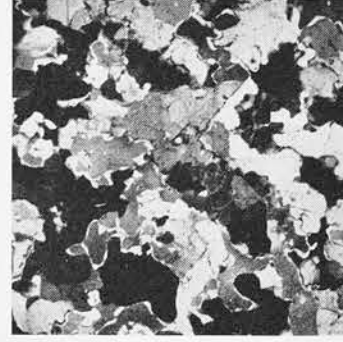
29f 27h



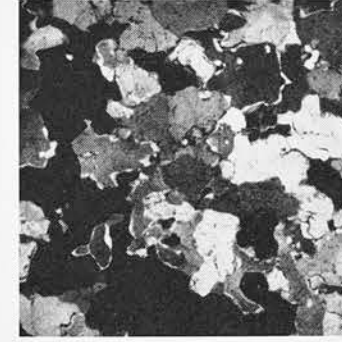
30a



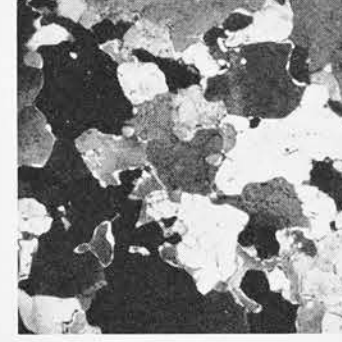
30b



30c 2h 05 min.



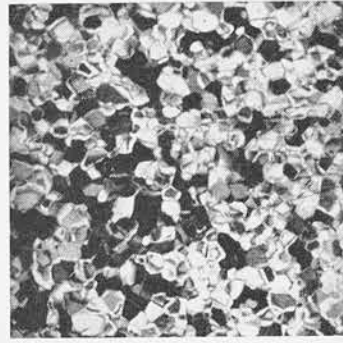
30d 5h



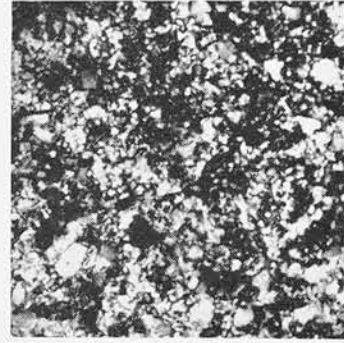
30e 7h 45 min.



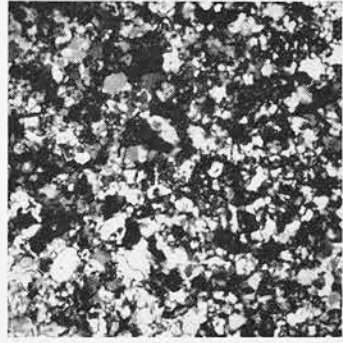
30f 70h



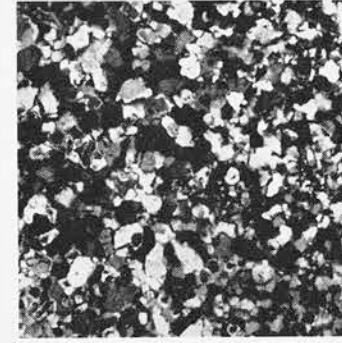
31a



31b



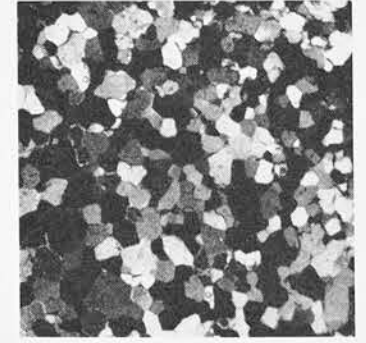
31c 55 min.



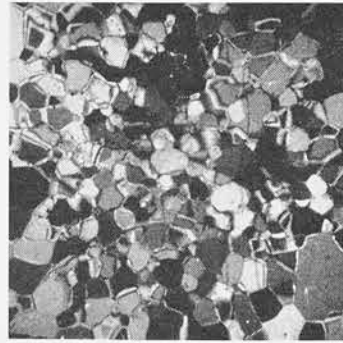
31d 2h 10 min.



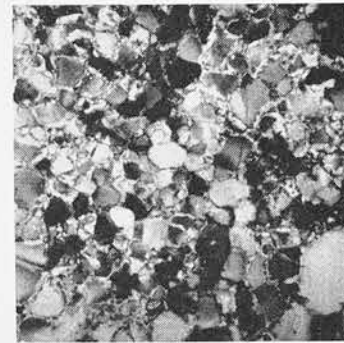
31e 7h 40 min.



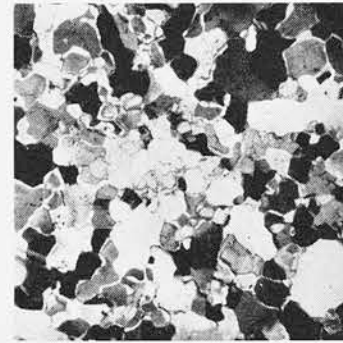
31f 1000h



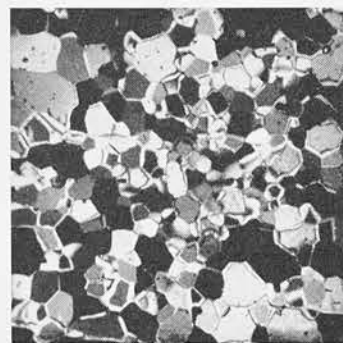
32a



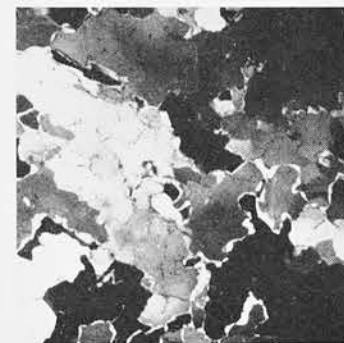
32b



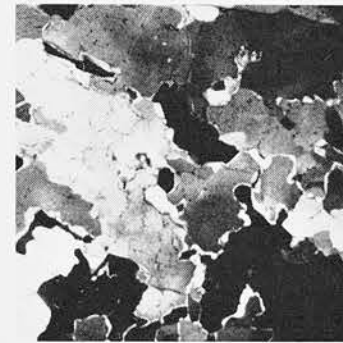
32c 75 h



33a



33b



33c 38 h

Rekristallisation in plastisch verformten Dünnschliffen.

a) Gefüge vor der Belastung; b) Gefüge unmittelbar nach der Entlastung; c) bis f) zeitlicher Ablauf der anschließenden Rekristallisation.

Bedingungen:

Fig. 29: $T = -1,9^{\circ} \text{C}$; $\sigma = 24,3 \text{ kg}\cdot\text{cm}^{-2}$; $\epsilon = 2,4\%$

Fig. 30: $T = -1,9^{\circ} \text{C}$; $\sigma = 7,8 \text{ kg}\cdot\text{cm}^{-2}$; $\epsilon = 7,5\%$

Fig. 31: $T = -4,8^{\circ} \text{C}$; $\sigma = 37,0 \text{ kg}\cdot\text{cm}^{-2}$; $\epsilon = 24,5\%$

Fig. 32: $T = -11,5^{\circ} \text{C}$; $\sigma = 30,3 \text{ kg}\cdot\text{cm}^{-2}$; $\epsilon = 8,8\%$

Fig. 33: $T = -1,9^{\circ} \text{C}$; $\sigma = 4,8 \text{ kg}\cdot\text{cm}^{-2}$; $\epsilon = 4,3\%$

Vergrößerung $3 \times$.

Im Versuch der Fig. 29 findet postkinematische primäre und sekundäre Rekristallisation statt; in den Experimenten der Fig. 30, 31 postkinematische primäre Rekristallisation anschließend an parakinematische (später auch sekundäre Rekristallisation in Fig. 31, f). Der Versuch der Fig. 32 erfährt teilweise primäre postkinematische Rekristallisation und für das Experiment der Fig. 33 fehlt nach parakinematischer primärer Rekristallisation die postkinematische.

Bedingungen: $T = -1,9^{\circ}\text{C}$:

Fig. 39: $\sigma_0 = 3,35 \text{ kg} \cdot \text{cm}^{-2}$; $\dot{\epsilon}_3 = 8,68 \cdot 10^{-8} \text{ sec}^{-1}$

Fig. 40, 41: $\sigma_0 = 6,0 \text{ kg} \cdot \text{cm}^{-2}$; $\dot{\epsilon}_3 = 2,96 \cdot 10^{-7} \text{ sec}^{-1}$

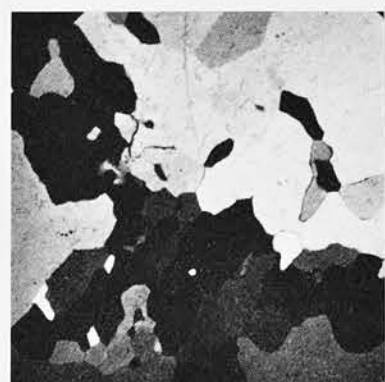
Fig. 42, 43: $\sigma_0 = 8,55 \text{ kg} \cdot \text{cm}^{-2}$; $\dot{\epsilon}_3 = 9,50 \cdot 10^{-7} \text{ sec}^{-1}$

Fig. 44, 45: $\sigma_0 = 11,0 \text{ kg} \cdot \text{cm}^{-2}$; $\dot{\epsilon}_3 = 2,52 \cdot 10^{-6} \text{ sec}^{-1}$

Fig. 46, 47: $\sigma_0 = 13,5 \text{ kg} \cdot \text{cm}^{-2}$; $\dot{\epsilon}_3 = 9,2 \cdot 10^{-6} \text{ sec}^{-1}$

Fig. 48, 49: $\sigma_0 = 16,0 \text{ kg} \cdot \text{cm}^{-2}$; $\dot{\epsilon}_3 = 1,74 \cdot 10^{-5} \text{ sec}^{-1}$

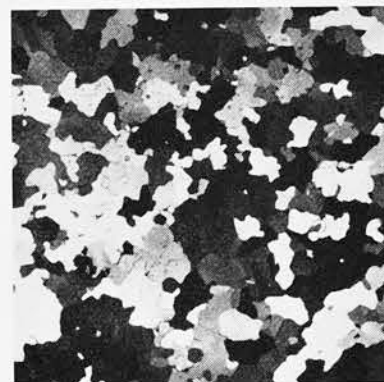
Fig. 39, 40, 42, 44, 46, 48: Parakinematisches Rekristallisationsgefüge; Fig. 41, 43, 45, 47, 49 nach einer weiteren postkinematischen Rekristallisation (fehlt beim Versuch der Fig. 39). Vergrößerung $3 \times$.



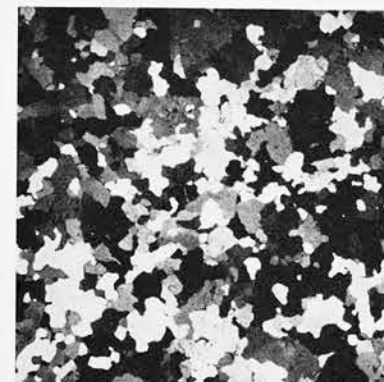
39a



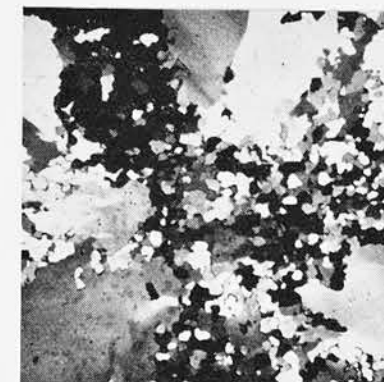
40a



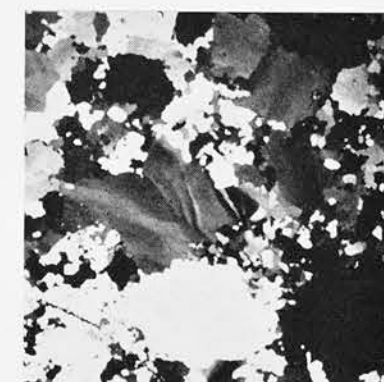
42a



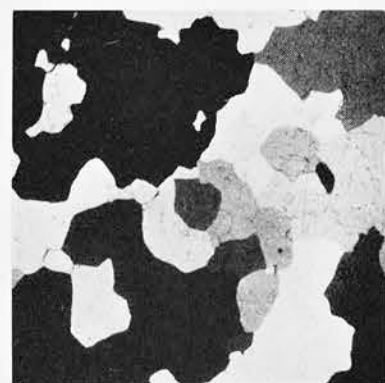
44a



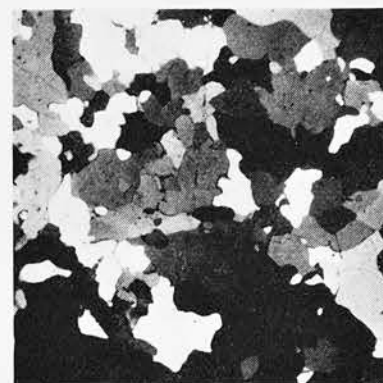
46a



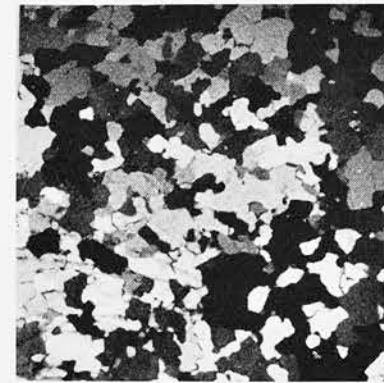
48a



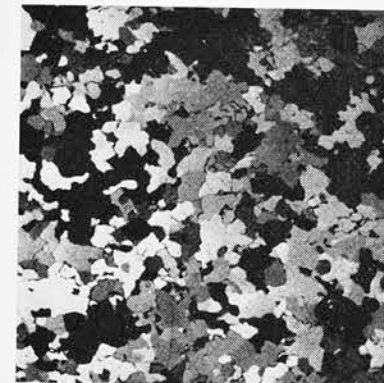
39b



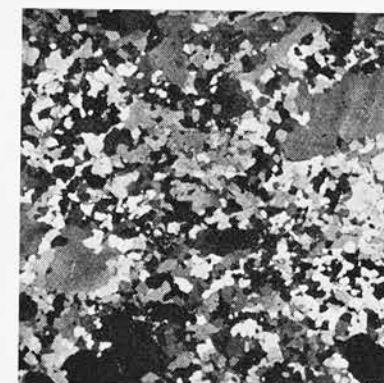
40b



42b



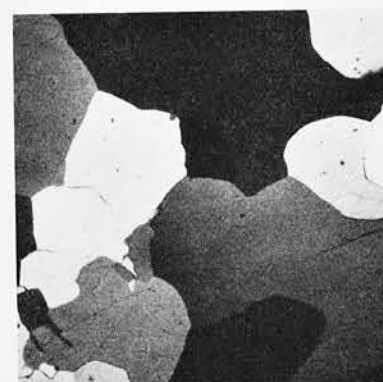
44b



46b



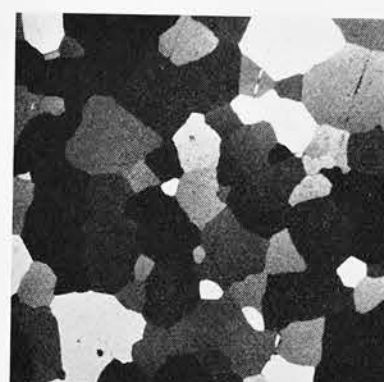
48b



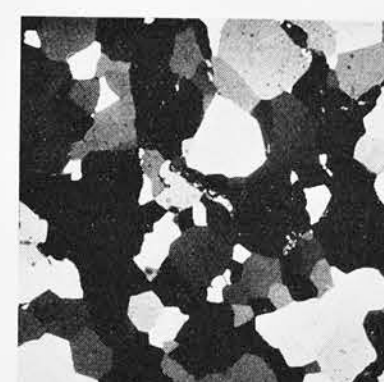
41a



43a



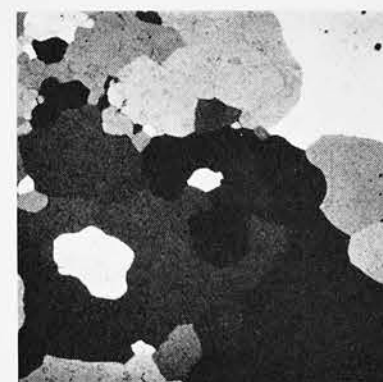
45a



47a



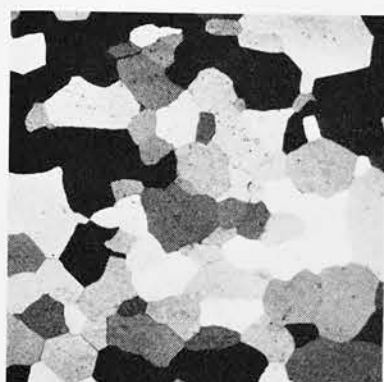
49a



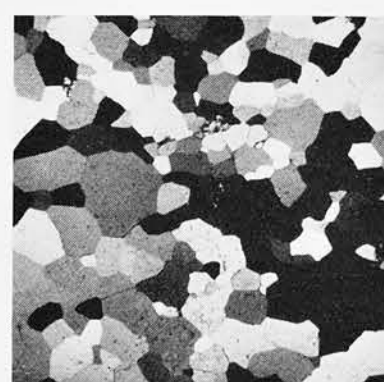
41b



43b



45b



47b



49b

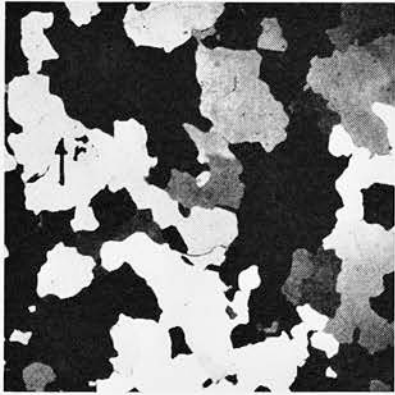
a) Schnitt senkrecht zur Torsionsachse (t); b) radialer Schnitt, aufgespannt durch Radiusvektor (r) und Mantellinie (t);
 c) tangentialer Schnitt, senkrecht zu Radiusvektor (r).

Bedingungen: $T = -1,9^{\circ} \text{C}$:

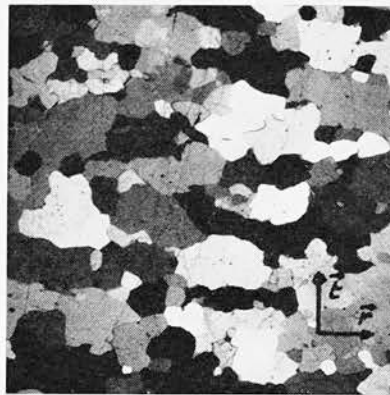
Fig. 50, 51: $\tau_a = 4,2 \text{ kg} \cdot \text{cm}^{-2}$; $\dot{\gamma}_a = 5,75 \cdot 10^{-8} \text{ rad} \cdot \text{cm}^{-1} \cdot \text{sec}^{-1}$

Fig. 52, 53: $\tau_a = 6,6 \text{ kg} \cdot \text{cm}^{-2}$; $\dot{\gamma}_a = 3,27 \cdot 10^{-7} \text{ rad} \cdot \text{cm}^{-1} \cdot \text{sec}^{-1}$

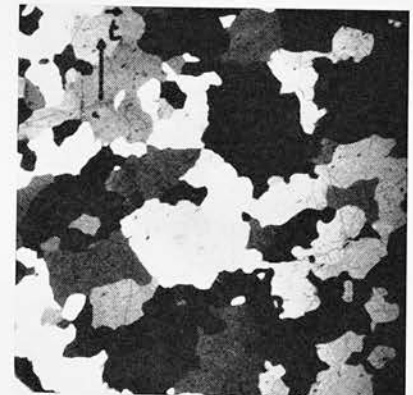
Fig. 50, 52 unter parakinematischen Bedingungen, Fig. 51, 53 nach einer weiteren postkinematischen Rekristallisation.
 Vergrößerung $3 \times$.



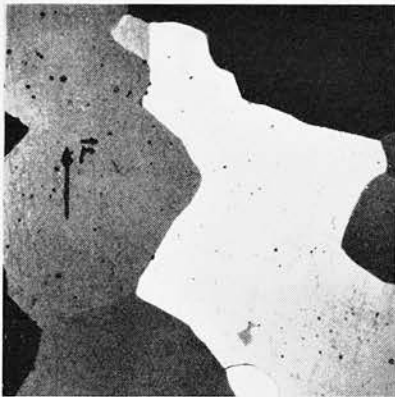
50a



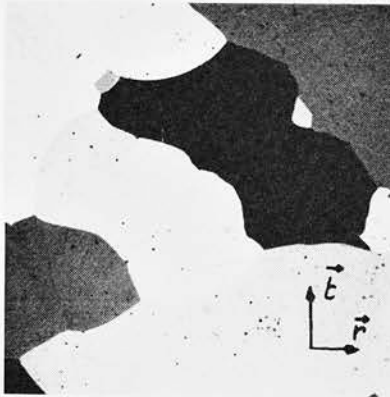
50b



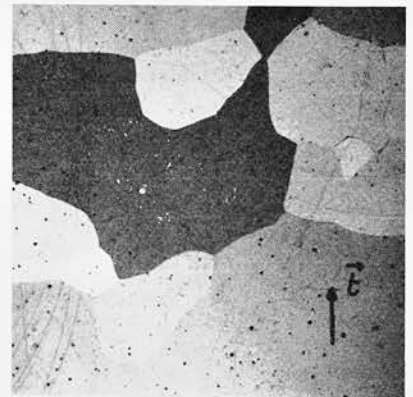
50c



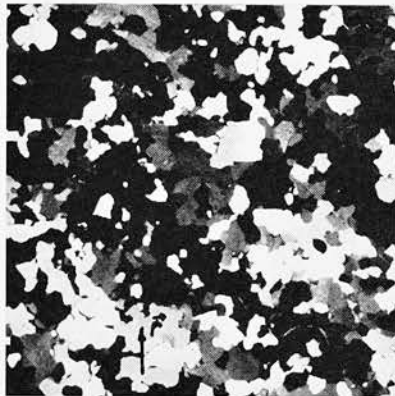
51a



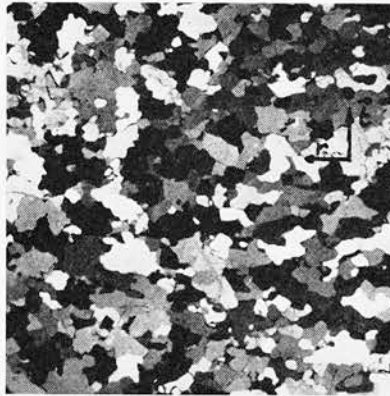
51b



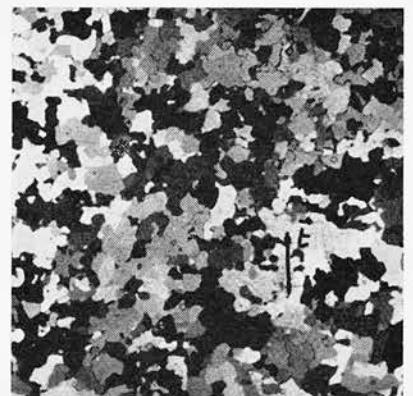
51c



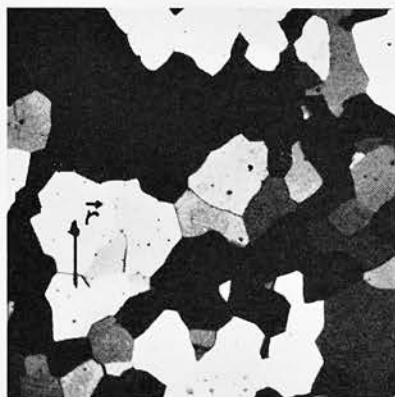
52a



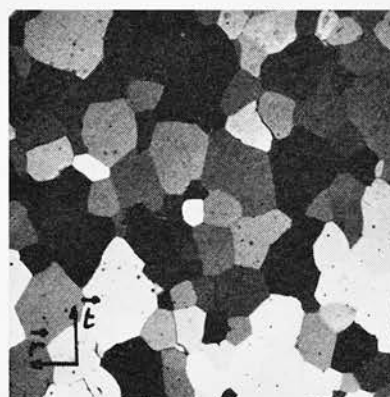
52b



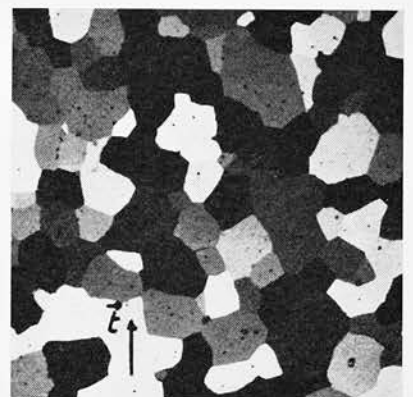
52c



53a



53b



53c